

体躯用 CP 型 phased array coil の基礎的，臨床的評価

浪本智弘， 山下康行， 阿部保子， 高橋睦正

熊本大学医学部放射線科

はじめに

Phased array coil はいくつかの小さな surface coil それぞれに受信機と増幅器を備えた multicoil で，これらの surface coil で volume を取り囲むことにより高い S/N と広い FOV との両立が可能となったものである^{1),2)}。それぞれの coil は互いに電気的に連結しないよう設計され，独立して画像の再構成を行い，後で一つの画像に合成される。これまで phased array coil は脊椎や骨盤に用いられてきたが^{3),4)}，最近上腹部についても circular-polarized(CP) phased array coil が臨床応用可

能となった⁵⁾。我々は CP phased array coil を従来の body coil と比較しその特性について検討した。

対象および方法

コイルの特性についてファントムならびに臨床例で検討した。使用した MRI は Siemens 社製 Magnetom Vision 1.5 T で，体躯用の CP phased array coil ならびに body coil を用いて検討した。

1) ファントムによる評価

Surface coil ファントム（日興ファインズ 93-402s）に対し，body coil および CP phased

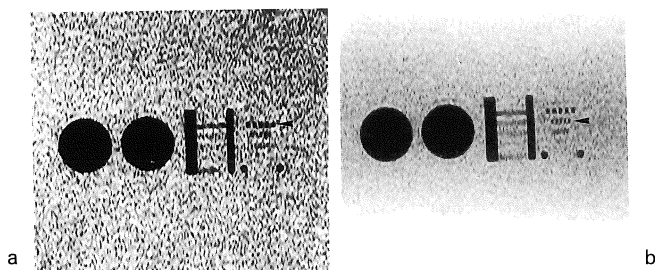


Fig. 1. The spatial resolution of the phantom with T₁-weighted FLASH sequence a) body coil, b) CP phased array coil). The spatial resolution with the CP phased array coil is higher than that with the body coil in T₁-weighted FLASH sequence for frequency encoding direction. There are no difference between the CP phased array coil and the body coil in other sequences. (shows only T₁-weighted FLASH sequence)

キーワード MRI, phased array coil, rapid imaging

Table 1. Pulse Sequence Parameters

		T ₁ -weighted SE	T ₂ -weighted SE	T ₁ -weighted FLASH	T ₂ -weighted TSE (ETL=15)
Repetition time	(ms)	580	2000	105	2000
Echo time	(ms)	14	20/80	6.0	120
Flip angle	(degree)	90	90	75	90
No. of acquisitions		1	1	1	1
Frequency oversampling		100%	100%	100%	100%
Phase oversampling		100%	100%	0%	0%
No. of sections		13	17	7	7
Section thickness	(mm)	8–10	8–10	8–10	8–10
Distance factor		0.2	0.2	0.2	0.2
Field of view		340×213	340×213	340×213	340×213
Matrix (phase×frequency)		128×256	120×256	160×512	160×512
Matrix size	(mm)	1.66×1.33	1.77×1.33	2.04×0.66	2.04×0.66
Bandwidth (Hz per pixel)		150	20	195	130
No. of presaturation		2	2	0	2
Imaging time per section		11.6 sec	16.2 sec	2.7 sec	3.7 sec
Total imaging time		2 min 31 sec	4 min 35 sec	19 sec	26 sec

array coil を用い MRI 撮像を施行し, signal-to-noise ratio (S/N) を両コイルについて比較した。ファントムの大きさは一辺 150 mm の立方体で、内部には T₁, T₂ 値が生体軟部組織と等価 (T₁ 値 800 ms, T₂ 値 130 ms) のポリビニールアルコールゲルが封入されている。

撮像したパルス系列は T₁-weighted fast low-angle shot(FLASH), T₂-weighted Turbo spin-echo(TSE), T₁-weighted spin-echo(SE) および T₂-weighted SE で詳細は Table 1 に示す。各パルス系列について S/N をファントムの中心を 0 として垂直方向および水平方向に 1 cm 間隔で各方向 13 点 (-6~+6 cm) の各 0.5 cm² の領域を測定し位置による信号の変化を比較した。S/N は信号強度をファントム右外側の 1 cm² の領域の信号の標準偏差 (background SD) で除して求めた。また各パルス系列について、ファントム内の直径およびピッチ 0.5, 0.75, 1.0, 1.5 mm の円柱ピンパターンを用

い空間分解能の比較をおこなった (Fig. 1).

2) 臨床評価

上腹部の疾患が疑われた 10 症例に対して body coil および phased array coil を用い, MRI をファントムと同様のパルス系列 (Table 1) で撮像し、肝、脾、腎の S/N について比較した。

結 果

1) ファントムによる評価

ファントム中心部における CP phased array coil の S/N は body coil に比して T₁-weighted FLASH で 3.5 倍, T₂-weighted TSE で 2.4 倍, T₁-weighted SE で 2.6 倍, T₂-weighted SE で 1.5 倍であった。

画像の均一性については垂直方向では, body coil はどの深さでも S/N はほぼ一定であったのに対し, CP phased array coil では中心

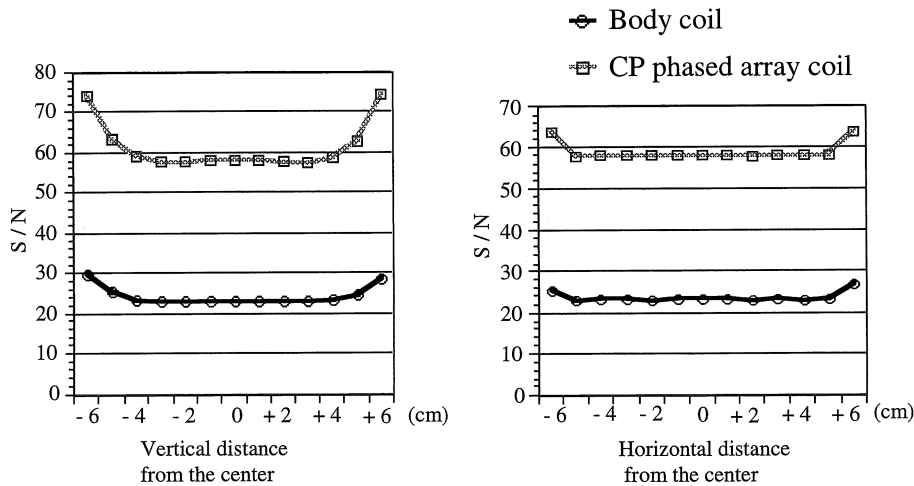


Fig. 2. The S/N measurements for distance from the center with the vertical and the horizontal direction. (shows only T₂-weighted TSE image) The S/N of the point near the surface is higher than that of the center with the CP phased array coil in the vertical direction. The S/N with the body coil is almost homogenous in the vertical direction. The S/N of the center point with the CP phased array coil is 2.4 times higher than that with the body coil in T₂-weighted sequence.

Table 2. Spatial resolutions of four sequences

	Frequency encoding direction				Phase encoding direction
	T ₁ -weighted SE	T ₂ -weighted SE	T ₁ -weighted FLASH	T ₂ -weighted TSE	
CP phased array coil (mm)	1.5	1.5	1.0	0.75	1.5
Body coil (mm)	1.5	1.5	1.5	0.75	1.5
Theoretical resolution (mm)	1.33	1.33	0.66	0.66	1.66–2.04

部が低く、コイルに近づくにつれ S/N が高くなったり (Figs. 1 & 2)。水平方向では body coil, CP phased array coil ともに S/N はほぼ均一であった。

Body coil と CP phased array coil との空間分解能の比較では CP phased array coil では T₁-weighted FLASH, T₁-weighted SE, T₂-weighted TSE, T₂-weighted SE では周波数方向においてそれぞれ 1, 0.75, 1, 1 mm まで判読可能であり, body coil ではそれぞれ 1.5, 0.75, 1, 1 mm まで判読され, T₁-weighted FLASH 以外には差はなかった (Fig. 1, Table 2)。位相方向ではいずれのパルス系列でも空間分解能

は 1.5 mm であった (Table 2)。

2) 臨床評価

臨床的な body coil および CP phased array coil による肝, 脾, 膀胱の S/N の比較では高速撮像法の FLASH および TSE で S/N の著しい改善を認め, FLASH で 3~4 倍, TSE で 2~3 倍の向上を認めた (Figs. 3, 4e~h)。T₁ 強調 SE では肝では 2 倍の上昇を認めたものの, 脾, 膀胱では S/N の上昇は軽微であった (Fig. 4a, b)。T₂ 強調 SE では全般的に S/N の向上は TSE に比して軽微であった (Fig. 4c, d)。

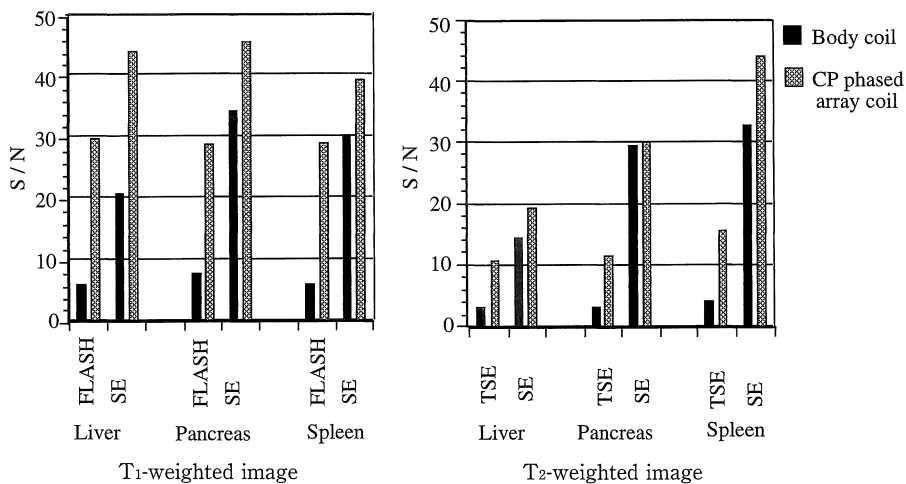


Fig. 3. S/N measurements for the liver, spleen and pancreas. S/Ns with the CP phased array coil in T₁-weighted FLASH and T₂-weighted TSE sequences show significantly higher than those with the body coil.

考 察

Phased array coil は複数の表面コイルを並べて使用し、高い S/N と広い FOV を両立させることができるものである。最近では様々な形状のものが開発され、今後様々な領域で臨床応用が進んでいくものと思われる^{6)~9)}。我々の用いた CP phased array coil は体軸用に設計されたもので、上下 2 枚づつ計 4 枚のコイルで構成されており、骨盤部のみならず、腹部、胸部にも応用可能である。これまで phased array coil は骨盤部ならびに脊椎に応用されていたが、上腹部の MRI に対する phased array coil の臨床応用でも、優れた S/N を得ることが可能であり、高速かつ高分解能の撮像が可能とな

った。本研究ではこの CP phased array coil の特性について定量的に評価した。

ファントムでは、いずれのパルス系列でも CP phased array coil の S/N の向上を認め、特に FLASH, TSE では S/N の向上が著明であった。原因としてはこれらの高速撮像法では SE と比べ coil の受信信号が弱いため、より表面に近い CP phased array coil による S/N の改善が著しかったものと考えられた。CP phased array coil は水平方向の S/N はほぼ均一なのに対し、垂直方向では中心から離れるほど、コイルに近接するため信号の増強を認め、中心部と比べ外側部 (± 6 cm) では S/N は 30~40% 高かった。この結果辺縁部では S/N は向上する反面、body coil に比して、信号強

Fig. 4. Images of hepatoma

T₁-weighted SE (TR 580 ms/TE 14 ms/1NEX) a : body coil, b : CP phased array coil
 T₂-weighted SE (TR 2000 ms/TE 80 ms/1NEX) c : body coil, d : CP phased array coil
 T₁-weighted FLASH (TR 105 ms/TE 6 ms/1NEX) e : body coil, f : CP phased array coil
 T₂-weighted TSE (TR 2000 ms/TE 120 ms/1NEX/15ETL) g : body coil, h : CP phased array coil
 The S/Ns with the CP phased array coil in T₁-weighted FLASH and T₂-weighted TSE sequences show significantly higher than that with the body coil. The S/N with the CP phased array coil in T₁-weighted SE sequence shows slightly higher than that with the body coil. In T₂-weighted SE sequence, the S/N of the CP phased array coil is equally as that of the body coil.

体軸用 phased array coil の評価

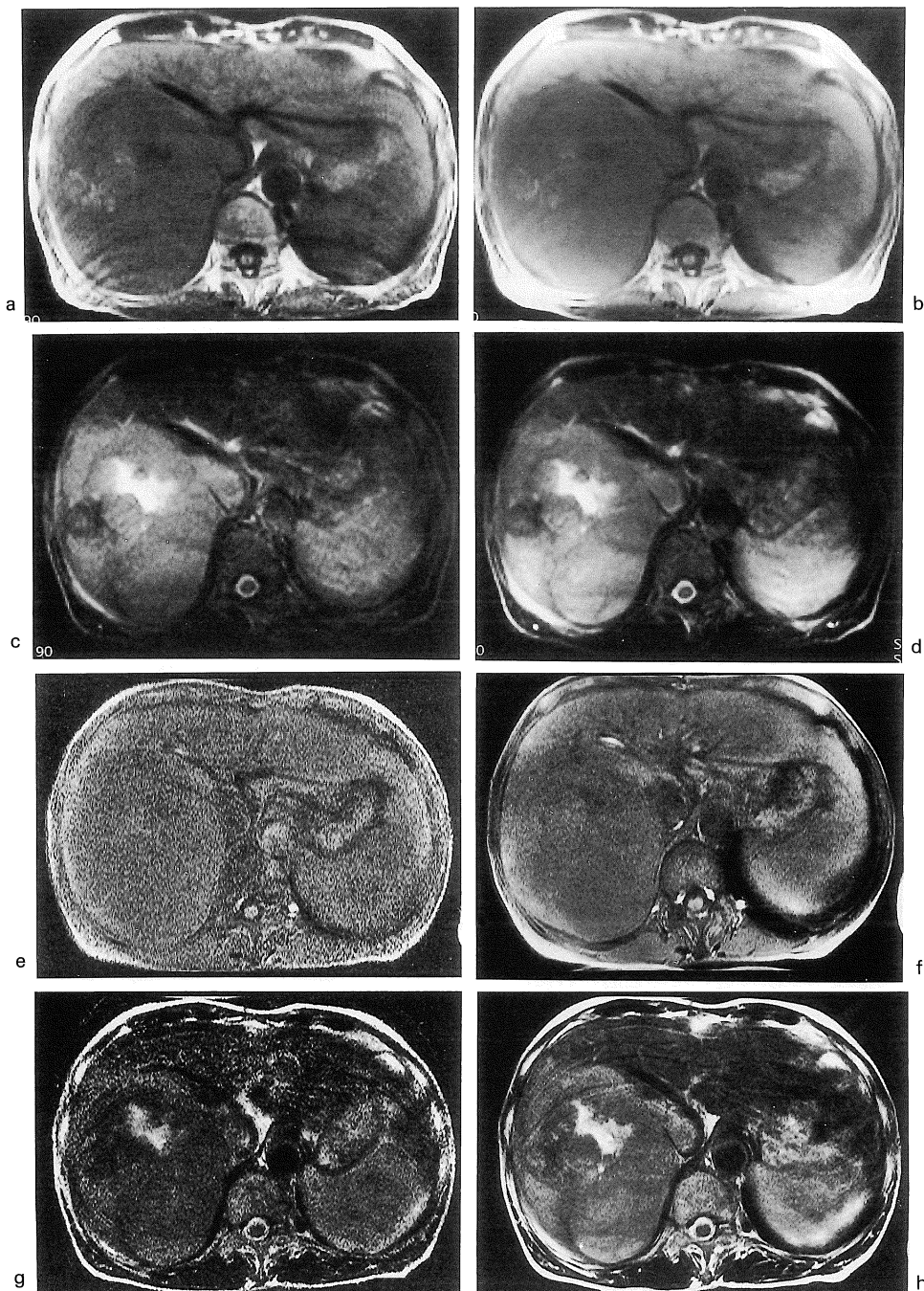


Fig. 4

度の不均一性が目立った。今回の実験では信号強度補正用のフィルターを使用しなかったが、実際の臨床では補正フィルターを使用して不均一性を補正している。補正フィルターを使用してファントムの信号強度を測定したところ、辺縁部の信号増加は20~30%に押さえられた。

空間分解能の検討ではファントムのピッチャーパターンのピッチ間隔は固定されており、より厳密な評価はできなかったが、TSEではいずれのコイルでも周波数方向で0.75 mmとほぼ計算値と一致していた。しかしFLASHではbody coil 1.5 mm, CP phased array coil 1.0 mmといずれも計算値より劣っていた(Table 2)。この原因は不明であるが、S/Nの低下が原因の可能性として考えられた(Fig. 1a)。SEでは1.5 mmでほぼ計算値(1.33 mm)と一致していた。位相方向ではいずれのパルス系列でも空間分解能は1.5 mmであり、計算値(1.33~2.06 mm)とほぼ一致していた。

臨床的にもファントム同様S/Nは高速撮像法において、FLASHで3~4倍TSEで2~3倍と著明な向上を認め、Campeauらの報告とほぼ同様の傾向であった⁸⁾。SEではT₁強調像でbody coilに対しS/Nの向上は軽度であった。T₂強調SEではS/NはCP phased array coilとbody coilはほぼ同等の結果となった。これは通常のSEでは信号が十分に高く、すでにコイルの感度の上限に近いためと思われた。一方ファントムと同様に、高速撮像法のFLASHやTSEでは呼吸停止下の撮像では得られる信号が低いため、CP phased array coilでのS/Nの改善が著しかったものと考えられた。臨床例でのCP phased array coilとbody coilとのS/Nの比較では、ファントムでの測定結果と比べSEでは相対的に低下するのに対しFLASH、TSEでは肝や脾のS/Nの相対的向上を認めた。原因としてSEでは呼吸下に撮像するため、CP phased array coilでは皮下脂肪の信号が強調され、その呼吸性の移動によりノイズが増加したためと考えられた。CP

phased array coilのファントム実験では中心部と比べ辺縁部での信号の増加が30~40%認められており、体表に近く存在する肝や脾のFLASH、TSEでのCP phased array coilの相対的S/Nの向上の原因と考えられた。

CP phased array coilでは体表の脂肪が高信号となるため、腹壁にあわせてpresaturation pulseをかけることにより、信号強度の不均一性を緩和できる症例もあった。

結論

CP phased array coilの使用により特に高解像のFLASH、TSE等高速撮像法においてS/Nの比較的均一で著明な向上が認められた。通常の解像度のSE法T₁、T₂強調像ではS/Nの向上は軽度であった。

文献

- 1) Hayes CE, Roemer PB : Noise correlation in data simultaneously acquired from multiple surface coil arrays. Magn Reson Med 1990 ; 16 : 181-191
- 2) Hayes CE, Hattes N, Roemer PB : Volume imaging with MR phased arrays. Magn Reson Med 1991 ; 18 : 309-319
- 3) Hayes CE, Dietz MJ, King BF, et al. : Pelvic imaging with phased-array coils : Quantitative assessment of signal-to-noise ratio improvement. JMRI 1992 ; 2 : 321-326
- 4) Smith RC, Reinhold C, McCauley TR, et al. : Multicoil high-resolution fast spin-echo MR imaging of the female pelvis. Radiology 1992 ; 184 : 671-675
- 5) Kreischer L, Friedrich A, Wang J : SNR and noise-correlation of CP-volume-array coils. Society of Magnetic Resonance. Nice, 1995 ; 980
- 6) Foo TKF, MacFall JR, Hayes CE, et al. : Pulmonary vasculature : single breath-hold MR imaging with phased-array coils. Radiology 1992 ; 183 : 473-477
- 7) Schmalbrock P, Pruski J, Sun L, et al. : Phased array RF coils for high-resolution MRI of the inner

- ear and brain stem. JCAT 1995 ; 19 : 8-14
- 8) Campeau NG, Johnson CD, Felmlee JP, et al. : MR imaging of the abdomen with a phased-array multicoil : Prospective clinical evaluation. Radiology 1995 ; 195 : 769-776
- 9) Gauger J, Sittek H, Holzknecht NG, et al. : Liver MR imaging with a body phase-array coil. Radiology 1994 ; 193 : 133

Preliminary and Clinical Evaluation of CP Body Array Coil

Tomohiro NAMIMOTO, Yasuyuki YAMASHITA,
Yasuko ABE, Mutsumasa TAKAHASHI

*Department of Radiology, Kumamoto University
1-1-1 Honjo, Kumamoto, Kumamoto 860*

A phased array multicoil represents an important technical development in MR imaging of the upper abdomen. With the use of the CP phased array coil for the reception of MR signals, a substantial improvement in signal-to-noise ratio (S/N) is achieved compared to the body coil. The S/N of the CP phased array coil in a phantom and upper abdominal studies were compared with that of the body coil. In a phantom study, S/Ns of the CP phased array multicoil were approximately 1.5 to 3.5 fold increase in comparison with the body coil. However, higher S/N was achieved at the cost of a reduced sensitive volume and with inhomogeneous sensitivity.